

TİROİD HASTALIKLARI VE TÜMÖRLERİNDE ULTRASONOGRAFİ İLE SİNTİGRAFİNİN TANI DEĞERİ

Doç. Dr. Fevzi KARSLI (*)

ÖZET: Yüksek rezolüsyonlu real-time Ultrasongrafinin (US) süperfisial organ ve dokuların tetkikinde kullanılma başlaması ile tiroid hastalıklarının tanı ve tedavisi yeni bir boyut kazanmıştır.

Bu çalışmada, Sintigrafi ve US uygulanan, operasyon ile histopatoloji neticeleri kanıtlanmış 91 olgunun Sintigrafi ve US bulguları operasyon bulguları ile karşılaştırıldı. US'de 2 yanlış negatif olguya karşı sintigrafide 39 yanlış negatif olgu saptandı. Ultrasonografinin duyarlılığı % 97.8, Sintigrafinin duyarlılığı % 59.3 bulundu.

Daha önce yapılan araştırmalar ve bizim neticelerimiz, tiroid hastalıkları tanısında US'nin ilk ve rutin olarak kullanılması gerekliliği gösteren yöntemini olduğunu belirtmektedir.

Anahtar Kelime: Tiroid Hastalığı-Ultrasonografi-Sintigrafi-Tiroid Tümörleri

SUMMARY: The Diagnostic Value of Ultrasonography and Scintigraphy in Thyroid Disease and Tumors. With the use of high resolution real time ultrasonography in superficial organs and tissues, the diagnosis and treatment of thyroid diseases have gained a new perspective.

In this study, scintigraphic and ultrasonographic findings of 91 cases, of which the histopathological results were proven by surgical operations, were compared with the surgical findings. 2 false negative cases were observed in US in return to the 39 false negative cases of scintigraphy. The sensitivity of US was 97.8 % while the sensitivity of scintigraphy was only 59.3 %.

Therefore the results of both the previous studies and our study show that US is the first and routine diagnostic imaging method that should be used in the diagnosis of thyroid diseases, and tumors.

Key Words: Thyroid disease-Ultrasonography-Scintigraphy-Thyroid Tumor

GİRİŞ

Toplumumuzda tiroid bezi hastalıkları oldukça yaygındır. dünya Sağlık Teşkilatı kriterlerine göre Türkiye'de quatre prevalansı % 30.5 olarak hesaplanmıştır (15). Bu nedenle erken, ekonomik ve kolay uygulanabilir tanı yöntemleri değer taşımaktadır.

Yakın zamana kadar tiroid hastalıklarında görüntüleme çeşitli sintigrafik yöntemlerle sınırlı idi. Sintigrafi, fonksiyonel yönden önemli bilgiler sağlamasına rağmen, tiroid bezinin anatomik detayı, lezyonların yapısı, komşu organ ve yumuşak dokuları görüntülemede yetersiz kalmaktadır (1-7-8-10-16).

Sintigrafi ile saptanan soliter soğuk nodüllerde karsinoma sıklığı % 9-35 oranındadır (5-9-13-16). Öte yandan farklı izotop ve metotlarla yapılan sintigrafik tetkiklerde değişik cevap alındığı bildirilmektedir (4-7-9-10).

Önceleri batın hastalıkları tanısında kullanılan ultrasonografi (US) 1979 yılında yüksek çözümlü güçlü gerçek zamanlı US'nin geliştirilmesiyle süperfisial organ ve dokularda, bu arada tiroid hastalıklarının tanısında kullanılmaya başlandı (1-2-3-7-12-13-14-16).

Bu çalışmanın amacı; US ve Sintigrafi neticelerini, ope-

rasyon bulguları ve sonuçları ile karşılaştırıp, tiroid hastalıklarında tanı ve değerlerini saptamaktadır.

GEREÇ VE YÖNTEM

Bu çalışma, Ocak 1987-Ocak 1990 yılları arasında GATA Haydarpaşa Eğitim Hastanesi'nde yapıldı. Hastanemize tiroid hastalıkları nedeniyle başvuran olgulardan sintigrafi ve US uygulanan, operasyon ile sonuçları alınan 91 olgu bu çalışmaya temel oldu. Olguların cinsiyeti dağılımı 42 (% 46 Kadın), 49 (% 54 Erkek), genel yaş ortalaması 37, kadınlarda 45, erkeklere 29'dur (Tablo 1).

Sintigrafik inceleme, 3700 Digitrac marka Gamma Kamera cihazı ile yapıldı.

Tablo 1 - Olguların Cins ve Yaş Özellikleri

Cins	Olu sayısı	Yaş ortalaması	En az yaşı	En fazla yaş
Kadın	42	45	17	68
Erkek	49	29	20	65
Toplam	91	37	17	68

Tablo 2 - Olguların Histopatolojik Netice ve Cinsiyetlerine göre Dağılımı

Patoloji	Kadın	Erkek	Olgı
1. Nodüler Guatr	38	24	62
2. Kolloidal Guatr	-	11	11
3. Adenomatöz Guatr	1	2	3
4. Folliküler Adenom	1	5	6
5. Folliküler Karsinom	1	3	4
6. Papiller Karsinom	-	-	1
7. Folliküler + Papiller Ca	-	1	1
8. Hashimoto Tiroiditi	1	-	1
9. Akut Süpüratif Tiroidit	-	1	1
10. Basit Tiroid Kisti	-	1	1
Toplam	42	49	91

Tablo 3 - Bening ve Malign Olguların Ultrasonografik (US) Görüntüleri

US görünüm	Bening	Malign	Toplam
Kistik	1	-	1
Mikst	41	1	42
Solid Hiperekoik	23	-	23
Solid Isoekoik	15	1	16
Solid Hipoekoik	5	4	9
Toplam	85	6	91

İncelemede Tc^{99m} penteknetat kullanıldı. Her olguya 3 mCi aktivite İ.V. enjeksiyonla verildikten 20 dakika sonra Sintigrafik kayıtlara başlandı. Daha iyi görüntü sağlamak için pinhole kolimatör kullanıldı. Sintigrafik kayıtlar tek emisyonlu özel röntgen filmlerine yapıldı.

US inceleme, Radyoloji Bölümünde bulunan Sonoline SL cihazı ile yapıldı. İncelemede 5 MHz.'lık Lineer başlık kullanıldı. Bu başlığa saf kauçuktan yapılmış, yarı şeffaf su yaşıtı monte edildi.

İncelemede olgular muayene masasına sırt üstü yatırıldı. Boyonlarına hiperekstansiyon verebilmek için omuzları altına yastık konuldu. Tiroid bezi (Her iki lobu ve istmus) transvers, longitudinal ve oblik kesitlerle incelendi.

Sternum ve klavikula üstü alanlarda inceleme anında olguya yutkunma hareketi yaptı, retrosternal veya retroklaviküler lezyonlar belirlenmeye çalışıldı. Bazı şüpheli olguda inceleme anında su içirilip özefagus net olarak belirlendi. Elde edilen görüntüler Multiformat Kamera ile özel tek emisyonlu röntgen filmlerine kayıt edildi.

BULGULAR

Çalışma kapsamına giren 91 olgunun cinsiyet ve yaş özellikleri Tablo 1'de verildi. Olguların cinsiyetlerine göre histopatolojik tanıları Tablo 2'de sergilendi.

Cerrahide disseke edilen nodül boyutları ile US'de saptanan nodül boyutları birbirine uyumlu bulundu.

US görüntülerine göre benign ve malign oluşumlar Tablo 3'de gösterildi. Histopatolojik neticelerine göre 85 (% 93.4) olgu benign, 6 (% 6.6) olgu malign olarak belirlendi (Tablo 3).

Multinodüler guatrı, biri bileteral 3 olguda malign nodüllelerde birlikteydi.



Şekil 1- US'de sağ lob transvers kesitte akustik gölgeler veren kaba iregüler ve yumurta kabuğu (egg shell) kalsifikasiyonlar (Multi nodüler guatr)

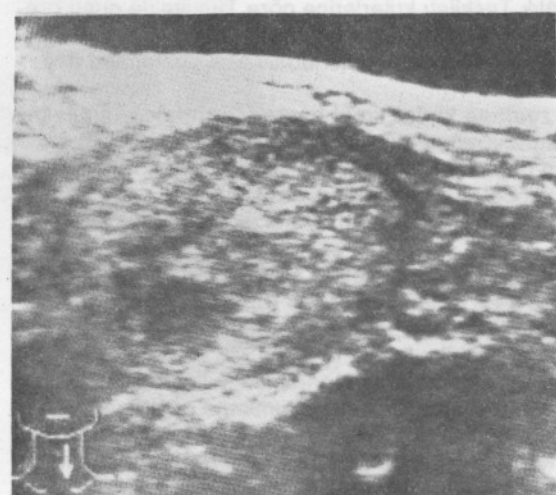
Nodüler guatrı 62 olgunun 23'ünde (% 37) akustik gölgeler veren kalsifikasiyon saptandı. Bu olgulardan birinde yumurta kabuğu (egg shell) kalsifikasiyonu mevcuttu (Şekil 1).

Halo formasyonu 2'si malign olgu olmak üzere toplam 28 (% 30.7) olguda bulundu (Şekil 2-3).

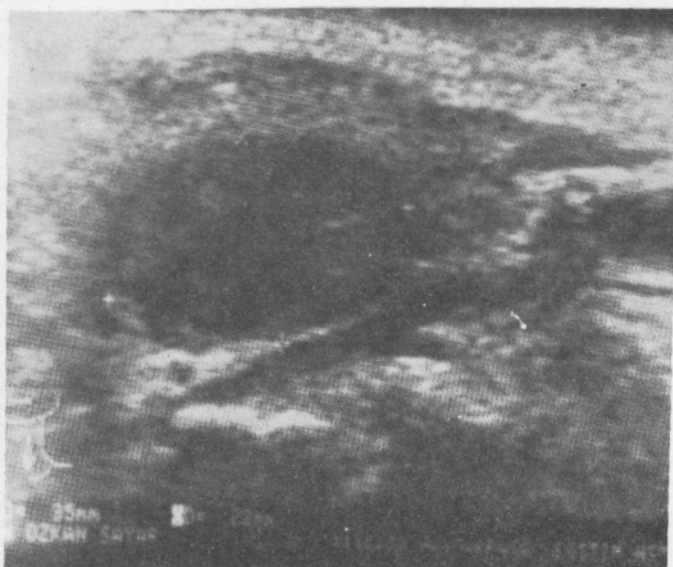
Olgularımızdan, bir tiroid CA'lı olguda görülen yakın metastaz dışında, boyun dokularına ait ilave bir patoloji ve paratiroid patolojisi saptanmadı. Folliküler karsinomlu bir olguda önce skapula metastazı tespit edildi. Primer odak araştırmasında tiroidde odak bulundu (Şekil-3A-3B-3C).

91 olgudan sadece 1 olguda tiroid kisti tespit edildi (Şekil-4).

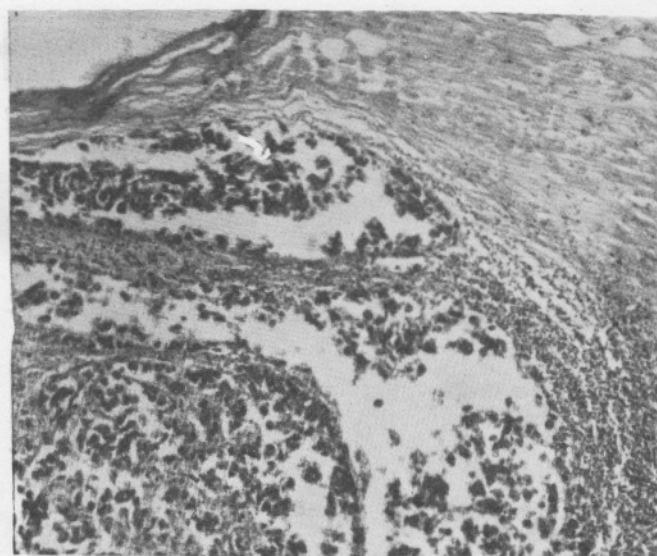
Ayrıca operasyon bulguları ve histopatolojik neticelerine göre, sintigrafik incelemede yanlış negatif (YN) olgular Tablo 4'de irdelendi (Şekil 5A, B-6- A,B)



Şekil 2 - US'de sol lob alt polde 40x30 mm boyutlarında periferinde Halo formasyonu gösteren yer yer kistik izoekojenik nodül (Folliküler Adenom)



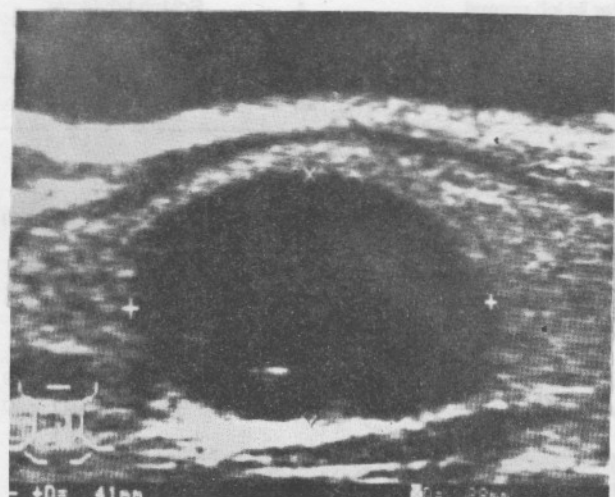
Şekil 3A - US'de sol lob orta bölümünde 35x22 mm boyutlarında kenarları düzenli Halo Formasyonu gösteren düşük eko yapısında (Hipoekojenik) nodül (Folliküler Karsinoma)



Şekil 3C - Şekil 3B'deki metastatik Tümörün Mikroskopisi (H.E.x40)



Şekil 3B - Skapulanın Medüller alanlarının tamamen doldurmuş tümöral doku



Şekil 4 - US'de sol lobda düzgün konturlu 41x28 mm boyutlarında anekoik (ekosuz) nodül (Tiroïd kisti)

duyarlılığı % 59.3 olarak hesaplandı.

TARTIŞMA VE SONUÇ

Sintigrafi tiroid hastalıklarında fonksiyonel yönden önemli bilgiler sağlamasına rağmen, tiroid bezinin anatomik detayını göstermek açısından yetersiz kalmaktadır (1-7-11-16). Çalışmamızda operasyon bulguları ve histopatolojik neticelerle göre % 40.7 olguda sintigrafının lezyonları belirlemede yetersiz kaldığı görüldü (Tablo 4).

Boyun, anatomi, patolojik oluşumlarını ve tiroid bezi ile ilişkilerini bir bütün halinde görüntülemek sintigrafi ile olanaksızdır (1-7-8-10-16). Sintigrafik olarak multinodüler guatr düşünülen bir olguda; US ile guatr nodülleri arasında farklı görünümde tiroid CA'yı ve bezin yakınında boyun metastazını birlikte görüntüledik. Sintigrafide normal bulunun

Tablo 4'de irdelediği üzere sintigrafinin, 91 olgudan 54 (%59.3) olguda operasyon bulguları ve histopatolojik neticelerle uyumlu [Doğru pozitif (DP)] olduğu kanıtlandı. Geriye kalan 37 (% 40.7) olgunun sintigrafik neticelerinin operasyon bulguları ve histopatolojik neticelerle uyumlu olmadığı saptandı (YN). US bulgularının operasyon bulguları ve histopatolojik neticeleri ile karşılaştırılmasında, 89 (% 97.8) olgunun uyumlu olduğu (DP) saptandı. 2 (% 2.2) olguda üst mediastane prolobe olan nodül belirlenemedi (YN). US ve Sintigrafe yanlış pozitif olgu saptanmadı.

Tanı olasılıkları (Diagnostic Probabilities) istatistik değlendirmesine göre; US'nin duyarlılığı % 97.8, Sintigrafinin

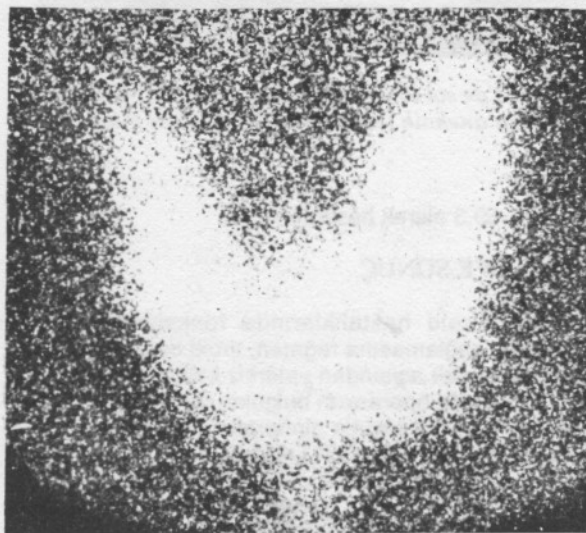
Tablo 4 - Sintigrafide Saptanan Yanlış Negatif (YN) Olguların İrdelenmesi

Sintigrafi Bulgusu	Olgı sayısı	Operasyon Bulgusu ve Histopatolojik netice	Doğru pozitif olgu sayısı	Yanlış negatif olgu sayısı
Diffüz Hiperplazi	12	Diffüz Hiperplazi Birden fazla solid ve kistik nodül	3	- 9
Soliter Soğuk Nodül	25	Soliter Nodül Birden fazla nodül	10	- 15
Soliter Sıcak Nodül Diğer Bölgeler Suprese	5	Soliter Nodül Birden fazla nodül Suprese loblarda nodül	1	- 1 3
Soliter Normohipeb aktif nodül, diğer lob normal	5	Normal lobdada nodül	-	5
Bir lob heterojen, diğeri normal	3	Diger lobdada nodül	-	3
Her iki lob normal büyülüklükte homojen tutulum	1	Sol lob büyük ve heterojen 30x40 mm alanda apse	-	1
Toplam	51		14	37

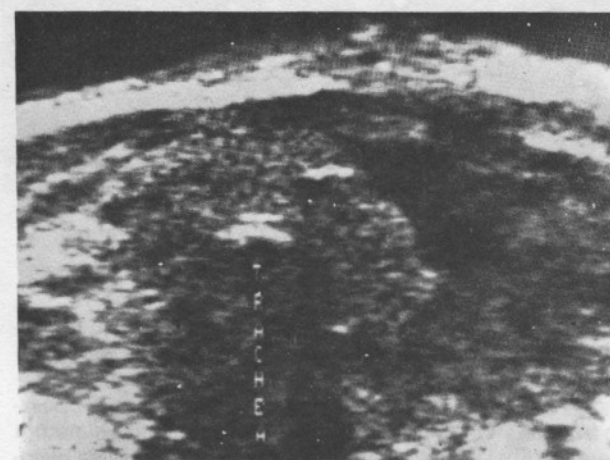
diger bir olgunun sol lob lateralinde 30x40 mm apse odaklı akut süpüratif tiroiditi US ile tespit edildi (Şekil-5 A,B).

Sintigrafide görüntüler iki boyutludur. İki olguda tiroid bezinin sadece derinlik boyutunun arttığı ve nodül içerdiği US ile belirlendi (Şekil-6 A ve B)

Bir lobda yer alan sıcak bir nodül nedeniyle diğer bölgelerin suprese olması önemlidir. 5 olgudan 4'ünde US tetkikte ilave nodül ve suprese bölgelerde nodül tespit etti (Tablo



Şekil 5A - Sintigrafide sağ lob sola oranla minimal büyük ve daha aktif görünümde dir. Belirgin defektif görünüm izlenmemiştir.



Şekil 5B - US'de sol lob boyutlar artmış onde ve lateralde 40x30 mm heterojen, kistik komponenti fazla düşük eko yapısında kitlesel lezyon mevcut (Solda lateralde apse ve akut süpüratif tiroidit). Sağ lob derinlik boyutu artmış solid ve kistik nodüller içermektedir.

4).

Sintigrafide Soliter soğuk nodül saptanan olgularda malignite insidansı değişik serilerde % 9-35 (5-7-11-12-16), multinodüler tiroid olgularında bu oran % 1-6 olarak bildirilmektedir (3-12-13-14-16).

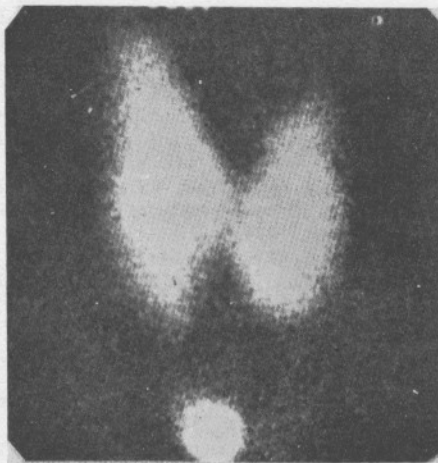
Solbiati ve ark. sintigrafide soliter soğuk nodül bildirilen 401 olguda % 25, scheible ve ark. 71 olguluk serilerinde US ile % 40 multinodülerite tespit etmişlerdir (11-14). Biz daha fazla % 60 oranında tespit etti (Tablo 4).

Sintigrafide 10 mm ve daha küçük lezyonlar genellikle tespit edilemez (1-7-8-10-16). Diffüz hiperplazi olarak rapor edilen 12 olgudan 9'unda (% 75) en büyüğü 20 mm solid ve miks yapıda nodüler US'de saptandı.

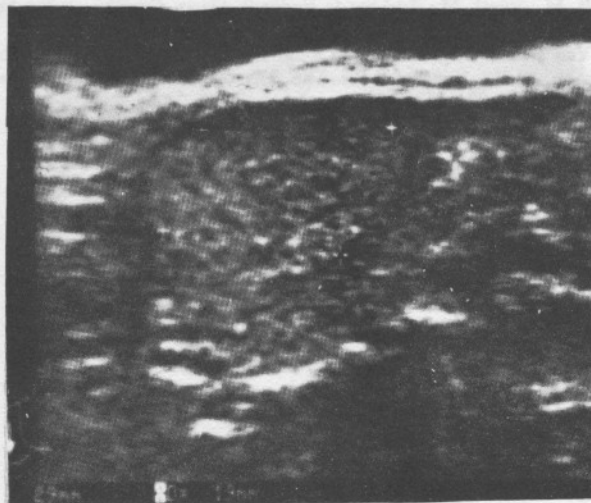
Sintigrafide istmus doku kalınlığının genellikle belirlemendiği bilinmektedir (16).

Tiroid karsinomlarında iyot bağlama kapasitesinin intakt kalması nedeniyle % 4 oranında sıcak ve normoaktif nodül saptandığı bildirilmektedir (4-5).

Diger dezavantajlarından biride tiroid nodüllerinin kullanılan izotop cinslerine göre farklı cevap vermeleridir (4-7-9-10). Ryo ve ark. Tc^{99m} ve I¹²³ kullandıkları 122 olguya içeren mukayeseli çalışmalarında 51 (% 42) olguda eşit, 22 (% 18) olguda I¹²³ ile daha kaliteli, 9 (% 7) olguda Tc^{99m} ile daha kaliteli sonuçlar, geriye kalan 40 (% 32) olguda ise farklı-zit



Şekil 6A - Sintigrafide sol lob normal görünümde, sağda normohiperaktif soliter nodüller ve minimal hiperplazi.



Şekil 6B - US'de sol lob longitudinal kesitte lobun derinlik boyutu artmış ve alt kutupta 29x19 mm boyutlarında izoekojen solid nodül.

sonuçlar elde etmişlerdir (10).

Bu arada radyasyon içermesi, pahalı oluşu, tetkikin zahmetli ve fazla zaman alması, antitiroid ve iyotlu ilaçlardan etkilenmesi, gebe ve emziren kadınlarda uygulanmasının sakıncalı olması, sintigrafi için diğer dezavantajlarındandır.

US, son 10 yıl içinde pek çok merkezde, süperfisial organların tetkikinde rutin olarak kullanılan bir tanı yöntemi olmuştur (1). Tiroid bezinin yüzeyel yerleşimi, kolay belirlenen anatomik yapılarla sınırlanması ve özel görünümü, patolojik değişiklıkların tanınmasında önemli avantajlar sağlamaktadır. Us yüksek çözümlme gücü nedeniyle, hiçbir görüntüleme yöntemi ile belirlenemeyicek kadar ufak (2-3 mm) oluşumları ortaya koyabilen emsalsiz bir görüntüleme yöntemidir (1-12-16).

Büyümüş olan loblarda alt kutupların US'nin görünüm alanına girmesi için hastaya yutkunma hareketi yaptırılmalıdır (1-3-11). Ancak retrosternal ve mediastinal tiroid lezyon-

larının BT ile incelenmesi uygun olur (3-6). Çalışmamızda US'de yanlış negatif iki olguda tiroid nodülleri retrosternal yerleşim gösteriyorlardı.

Tiroid bezinin kistik lezyonları fazla olmasına rağmen, basit tiroid kisti çok nadirdir (12). Olgularımızdan birinde basit tiroid kisti mevcuttu (Şekil-4).

Simeone ve ark. kliniklerinde US'nin genellikle iki ana kulanım yeri olduğunu söylüyor. Birincisi klinik ve sintigrafik çalışmada şüpheli tek bir nodülü olanlarda multinodüler bezin tespiti için, diğeri metastazlı olgularda primer odak araştırmasında. Multinodülerinin tespitinin önemi bu nodüller içinde bulunabilecek olan gerçek bir soğuk nodülün malignite riskidir (12). 6 tiroid Ca'lı olgumuzdan üçünde (biri bileteral), multinodüler guatrda birlikteydi. Malign nodüllerin farklığı US ile tespit edildi. Olgularımızdan biri skapula metastazı ile müraccat etmişti. Primer odak araştırmasında tiroid sol lobda folliküler karsinoma bulundu (Şekil-3A-3B-3C).

US'nın tiroidde küçük lezyonarı belirlemeye duyarlılığı yüksek olmasına karşılık, benign-malign ayırımında özgüllüğü düşüktür (1-3-7-11-12-14-16). US'de saptanan nodülleri kontur özellikleri, Halo Formasyonu, kalsifikasiyon, eko seviyeleri, kistik komponent içermesi, lezyonun homojen ve heterojen olması ve invaziv büyümeye gibi karakterler incelenmiş, bunlardan sadece invaziv büyümeyenin spesifik olduğu saptanmıştır (1-14-12).

Tablo 3'de belirtildiği gibi bir olguda kistik dejenerasyon gösteren miks yapıda solit komponentli hiperekojen nodül bulundu. Diğer bir olguda izoekojen nodül ve diğer olgularda hipoekojen nodül mevcuttu. Multinodüler guatrında birlikte olduğu üç olgumuzda biz şüpheye sevk eden büyümüş tiroid içinde farklı yapıda nodül bulunması idi. Bileteral Ca'lı olgumuzda nodüllerin kenar düzeni bozulmuştu.

Bir olgumuzda ise yakın metastaz mevcuttu. Olgularımızdan biri daha önceki bahsedildiği gibi skapula metastazı ile gelmişti. Multinodüler guatrı üç olgudan birinde sintigrafe hipoaktif görünüm tespit edildi. Diğer ikisinde malignite yönünden şüphe mecut değildi. Malign olgularımızdan ikisi halo formasyonu gösteriyordu (Şekil 3).

Malign olgularımızda, histopatolojide mikrokalsifikasiyon tespit edemedik. Bunun yanında nodüler guartrı 63 olguda % 36.5 oranında kaba kalsifikasiyon saptandı. Çok nadir olmakla birlikte benign lezyon için spesifik olan yumurta kabuğu (egg shell) kalsifikasiyonu bir olgumuzda mevcuttu (Şekil 1).

Tiroid lezyonlarında US rehberliğinde iğne aspirasyon biopsi girişimi ve supresyon tedavisinin US ile kontrolü ve takibi ayrı çalışmalar halinde devam ettiği için bu çalışmada irdelememiştir.

Bu arada boyun bölgesinde radyasyon uygulanan olgularda ve operasyon sonu tiroid Ca'lı olgularda peryodik US kontrolü önerilmektedir (1-2-7-12-13). Bu görüşlere katılıyoruz. Ayrıca bir tiroid lobunda lezyon (genellikle benign) mevcutsa ipsilateral lobun mutlaka US ile incelenmesi önerilmektedir (12).

Sonuç olarak; Tiroid hastalıklarının görüntülemede US, Sintigrafiye göre daha duyarlı bulunmuştur. US Lezyon boyutlarını doğru olarak tanılamaktadır. Metatstatik lezyonlarda primer odak aranmasında tiroid lezyonları yönünden US kontrolü uygun olur. Sintigrafisi mevcut olgularda US koreasyonu gereklidir. Uzak organ metastazı veya aberran tiroid dokusu ve konjenital malformasyonlarda sintigrafi yapılmalıdır. Retrosternal guatr düşünülen olgular sintigrafi ve BT yöntemleri ile incelenmelidir. US, soliter-multinodüler, solid-kistik ve fokal-diffüz lezyonları ayırmada güvenilir bir görüntüleme yöntemidir.

Daha önce yapılan araştırmalar ve bizim neticelerimiz; tiroid hastalıkları tanısında, tatbiki kolay ve tanı olasılığı fazla olan US'nin, ilk ve rutin olarak kullanılması gereklili bir görüntüleme yöntemi olduğu kanısına varılmıştır.

KAYNAKLAR

1. Butch , R.J., Simeone, J.F. Mueller, P.R.: Thyroid and Parathyroid Ultrasonography. *Radiol. Clin. North. Am.*, 23: 57-71, 1985.
2. Carroll, B.A.: Asemptomatic Thyroid Nodules (Incidental Sonographic Detection). *AJR*, 138: 499-501, 1982.
3. Cole-Beuglet, C., Goldberg, B.B.: New High-Resolution Ultrasound of the Thyroid Gland. *JAMA*, 249: 2941-2944, 1983.
4. Düren, E., Ünal, G., Ünal, H., Özyeğin, A.: Tiroid Karsinomları (285 Olgunun Klinik ve Patolojik Analizi). *Ulusal Cerrahi dergisi*. 1: 51-57. 1985.
5. Early, J.P., Sodee, D.B.: Principles and Paractice of Nuclear Medicine. St. Louis, Toronto, Princeton, C.V. Mosby Co. 1985, 541-596.
6. Glazer G.M., Axel, L. Moss A.A.: CT Diagnosis of Mediastinal Thyroid. *AJR*. 138: 495-498, 1982.
7. Katz, J.F., Kane, R.A., Reyes, J., Clarke, M.P. Hill, T.C.: Thyroid Nodules (Sonographic-Pathologic Correlation). *Radiology*, 151: 741-745, 1984.
8. Miller, J.M., Hamburger, J.I.: The Thyroid Scintigram (The Hot Nodule). *Radiology*, 84: 66-74, 1965.
9. Palmer., E.L., Strauss, H.W.: Anatomy, Pathology and Examination of the Thyroid, *Radiology: Diagnosis-Imaging-Intervention*. Revised Edition (Eds) Taveras, J.M., Ferrucci, J.T. Philadelphis, J.B. Lippincott Co. 1987, Vol. 3 (90): 1-16.
10. Roy, U.Y., Vaidya, P.V., Schneider, A.B. Bekerman, C., Pinsky, S.M.: Thyroid Imaging Agents: A Comparision of I^{123} and Tc^{99m} pertechnetate. *Radiology*, 148: 819-822, 1983.
11. Scheible, W., Leopold, G.R., Woo, V.L., Gosink, B.B.: high-Resolution Real-Time Ultrasonography of Thyroid Nodules. *Radiology*, 132: 413-417, 1979.
12. Simeone, J.F., Daniels, G.H., Mueller, P.R., Maloof, F., Van Sonnenberg, E., Hall, D.A., O'Connel, R.S., Ferrucci, J.T., Wittenberg J: High, Resolution Real-Time Sonography of the Thyroid. *Radiology*, 145: 431-435, 1982.
13. Simeone, J.F., Daniels, G.H., Hall, D.A., Mc Carthy, K., Kopans, D.B., Butch, R.C., Mueller, P.R., Stark, D.D., Ferrucci, J.T., Wang, C.A.: Sonography in the Follow-up of 100 Patients with Thyroid Carcinoma. *AJR*, 148: 45-49, 1987.
14. Solbiati, L., Volterrani, L., Rizzatto, G., Bazzocchi, M., Busilacchi, P., Candiani, F., Ferrari, F., Giuseppetti, G., Maresca, G., Mirk, P., Rubaltelli, L., Zappasodi, F.: The Thyroid Gland with Low Uptake Lesions (Evalustion by Ultrasound). *Radiology*, 155: 187-191, 1985.
15. Urgancioğlu, I., Hatemi, H., Yenici, O., Uslu, I., Kaya, H., Benli, M., Vural, M.: Türkiye'de Endemik Guatr. *Cerrahpaşa Tip Fakültesi Nükleer Tip Anabilim Dalı Yayın no: 14*, 1988.
16. Van Herle, A.J., Rich, P., Ljung, B-M.E., Ascraft, M.W., Solomon, D.H., Keeler, E.B.: The Thyroid Nodule. *Ann. Intern. Med.*, 96: 221-232. 1982.